

การพัฒนาแบบจำลองคณิตศาสตร์ของระบบถังความดันอากาศแบบปฏิสัมพันธ์
เพื่อการออกแบบตัวควบคุม
Developing Mathematical Model of Air Pressure Tanks Interaction System
for Controllers Design

สิทธิโชค สุขเม¹ และ วิริยะ กองรัตน์¹

¹ภาควิชาวิศวกรรมการวัดและควบคุม คณะวิศวกรรมศาสตร์ สถาบันเทคโนโลยีพระจอมเกล้าเจ้าคุณทหารลาดกระบัง
ที่อยู่: ถนน ฉลองกรุง เขต ลำพักซี แขวง ลาดกระบัง กรุงเทพฯ 10520

*ติดต่อ: sittichok_elec@hotmail.com, 082-3350223

บทคัดย่อ

บทความฉบับนี้ นำเสนอวิธีการสร้างแบบจำลองคณิตศาสตร์ของระบบถังความดันอากาศแบบปฏิสัมพันธ์เพื่อการออกแบบตัวควบคุม แบบจำลองทางคณิตศาสตร์ของถังความดันได้ถูกพัฒนาจากหลักการสมดุลมวลหรือพลังงานซึ่งแบบจำลองจะเป็นตัวแทนที่ดีสำหรับการวิเคราะห์ค่าพารามิเตอร์ของกระบวนการ สมดุลตั้งกล่าวของมวลถูกแทนด้วยสมการอนุพันธ์ พบร่วมกับสมการดังกล่าวไม่เป็นเชิงเส้น ทำให้เป็นเชิงเส้นโดยใช้วิธีอินกรุมเทลล์เรอร์ และแปลงให้อยู่ในรูปแบบได้แม่นความถี่ โดย ลากลากซ์ ซึ่งต่อไปจะเรียกว่าฟังก์ชันถ่ายโอน วิธีการการตรวจสอบความถูกต้องของฟังก์ชันถ่ายโอนโดยการจำลองสถานการณ์บนโปรแกรม (Simulink/MATLAB) นำมาระบุรณาเบรียบเทียบกับผลตอบสนองของระบบปฏิบัติการจริงเพื่อเบรียบเทียบและปรับแต่งฟังก์ชันถ่ายโอนให้เหมาะสม ภายหลังผ่านการตรวจสอบความถูกต้องแล้ว ดำเนินการวิเคราะห์ฟังก์ชันถ่ายโอนถังความดันต่อไปเพื่อสังเคราะห์ตัวควบคุมแบบ พบร่วมค่าสัมประสิทธิ์ที่ได้จากการสังเคราะห์ตัวควบคุม สามารถทำให้วางร่องรับการควบคุมสามารถเข้าสู่ค่าเป้าหมายได้ตามข้อกำหนดทั้งระบบปฏิบัติการจริงและโปรแกรมจำลอง ผลการทดลองแสดงให้เห็นถึงประสิทธิภาพของแบบจำลองทางคณิตศาสตร์ที่ใช้อธิบายกลไกของกระบวนการและนำมาเป็นหลักอ้างอิงการปรับแต่งค่าพารามิเตอร์ของตัวควบคุม

คำหลัก: แบบจำลองคณิตศาสตร์, การทำให้เป็นเชิงเส้น, สมดุลมวล, การสังเคราะห์ตัวควบคุม

Abstract

This paper presents a mathematical model of the air pressure tanks interaction system for controller design. This mathematical model was developed from the mass or energy balance which is a good agent for analysis of process parameters. The mass balance conservation principle is represented by differential equations. Which was the nonlinear equations. Linearization is done using Taylor Series expansion. Finally, was converted to S-domain by Laplace transform and consequently, transfer function is formalized. The respectable transfer function was confirmed by the simulation program (Simulink/MATLAB) that compared results with actual air pressure tanks interaction. Transfer function analysis of pressure tanks was contributed to synthesized controllers. The tuning parameters of both simulation and actual made control loop response approach the specification target. The experiment results show that the mathematical model is useful for plants mechanism explanation and a better controller tuning reference.

Keywords: Mathematical Model, Linearization, Mass Balance, Controller Synthesis

1. บทนำ

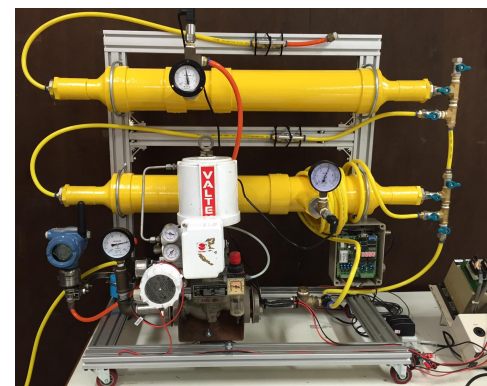
ปัจจุบันระบบควบคุมกระบวนการ ได้มีการพัฒนา รูปแบบและวิธีการใหม่ๆ มาใช้ในการควบคุมการผลิต เพื่อ ช่วยให้การตอบสนองของกระบวนการเกิดขึ้นได้ตาม เป้าหมายรวดเร็วและแม่นยำมากยิ่งขึ้น ทั้งนี้แบบจำลอง จะช่วยในการป้องกันการเกิดความเสียหายแก่ ระบบปฏิบัติการจริงโดยเฉพาะอย่างยิ่งในกลุ่มโรงงาน อุตสาหกรรม แบบจำลองถึงความดันอากาศแบบ ปฏิสัมพันธ์เป็นระบบพื้นฐานที่ใช้เป็นตัวแทนของ กระบวนการในอุตสาหกรรม แบบจำลองถึงความดันมี ความยืดหยุ่นสามารถปรับพารามิเตอร์เพื่อให้ใช้แทนกับ กระบวนการที่หลากหลาย อีกทั้งสามารถใช้เพื่อการ ออกแบบตัวควบคุม

งานวิจัยในหลายบทความได้นำเสนอวิธีการในการ สร้างแบบจำลองทางคณิตศาสตร์ของกระบวนการผลิต โดยการสังเกตปฏิกริยาตอบสนองของกระบวนการจริง หรือใช้หลักการทางสถิติ และนำมานำสังเคราะห์เป็นฟังก์ชัน คณิตศาสตร์และวิเคราะห์เปรียบเทียบกับโปรแกรม จำลองทางคณิตศาสตร์ อีกทั้งสามารถ แบบจำลองทาง คณิตศาสตร์จากงานวิจัยดังกล่าว ได้มาจากการทดสอบของกระบวนการ [1] และ [2] ซึ่งถ้าผลการทดสอบมี ความคาดเคลื่อนไปจากความเป็นจริงแล้วก็ไม่สามารถ อธิบายสิ่งที่เกิดขึ้นหรือกลไกภายในกระบวนการได้ เทคนิคการสังเคราะห์ทางคณิตศาสตร์ที่มาจากหลักการ สมดุลมวล [3] และ [6] จะทำให้ได้แบบจำลองที่มาจากการ หลักการทางทฤษฎี ซึ่งจะเป็นอีกวิธีการหนึ่งในการ ดำเนินการวิจัย จึงเป็นที่มาของการนำเสนอแนวคิดนี้เพื่อ การศึกษากระบวนการที่มีความซับซ้อนมากยิ่งขึ้น โดย นำเสนองานการสร้างแบบจำลองทางคณิตศาสตร์ ของถึง ความดันอากาศแบบปฏิสัมพันธ์ เมื่อได้ฟังก์ชันถ่ายโอนที่ ปรับแต่งให้เข้ากับทุนจำลองดังกล่าวแล้ว จึงดำเนินการ สังเคราะห์ตัวควบคุมแบบ และพารามิเตอร์ที่เหมาะสม กับการออกแบบแล้วนำค่าพารามิเตอร์ที่ได้ไปควบคุม ผลกระทบของความดันที่เกิดขึ้นกับระบบต่อไป

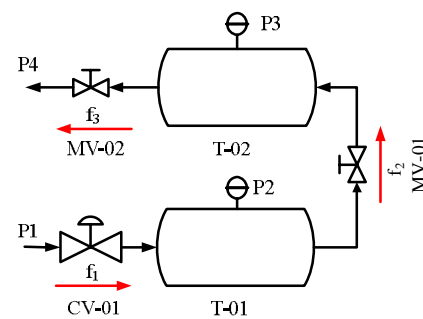
2. ลักษณะของระบบปฏิบัติการ

ระบบปฏิบัติการถังเก็บความดันอากาศแบบ ปฏิสัมพันธ์เป็นระบบแบบเข้าออกทางเดียว (SISO) ประกอบด้วยการเชื่อมต่อของถังเก็บความดันอากาศสอง ถังเข้าด้วยกันซึ่งมีต่อ กันแบบอนุกรม แต่ละถังจะมีขนาด ความกว้าง 35 นิ้ว และขนาดเส้นผ่านศูนย์กลาง 4 นิ้ว ทั้ง

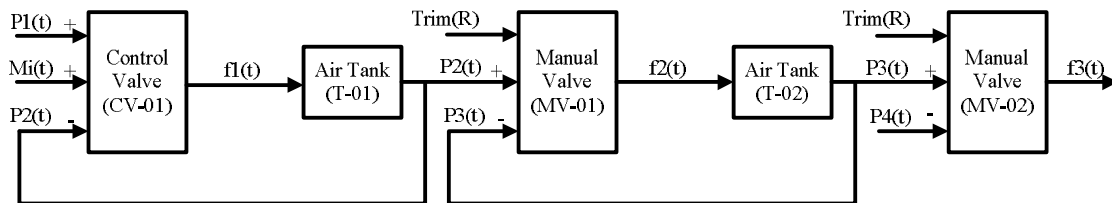
สองถังมีการติดตั้งทرانสิเดิร์คความดัน (PT-01) และ (PT-02) ตามลำดับ เพื่อส่งสัญญาไปยังอุปกรณ์รับส่ง ข้อมูล (DAQ) ใช้ในการสังเกตและวิเคราะห์ผลตอบสนอง ที่เกิดขึ้นกับระบบและยังทำหน้าที่ส่งสัญญาที่เป็นข้อมูล ของตัวแปรความดันทั้งสองถังไปยังอินพุตของตัวควบคุม ทั้งนี้ในสิ่งเก็บความดันทั้งสองถังมีการติดตั้งมาตรวัดความ ดันทั้งสองถัง (PG-01) และ (PG-02) เพื่อการใช้ สังเกตการณ์ค่าความดันอากาศเบื้องต้นด้วยสายตาและ เพื่อการเปรียบเทียบกับค่าที่ได้จากทرانสิเดิร์คความ ดัน วาร์ล์ควบคุม (CV-01) เชื่อมต่อเข้ากับถังเก็บความ อากาศที่หนึ่ง (T-01) และทำหน้าที่ควบคุมความดัน อากาศที่แหล่งเข้าระบบตามเวลาที่พุทธของตัวควบคุม ระหว่างถังเก็บความดันอากาศสองถังจะมีวาร์ล์ปฏิบัติการ มือ (MV-01) เชื่อมต่ออยู่ระหว่างสองถังทำหน้าที่ควบคุม ความดันอากาศที่แหล่งออกจากถังที่หนึ่ง (T-01) เข้าถังที่สอง (T-02) และ ถังที่สองมีวาร์ล์ปฏิบัติการมือ (MV-02) เชื่อมต่ออยู่ที่ด้านการแหล่งออกของถังซึ่งทำหน้าที่ควบคุม ความดันที่แหล่งออกจากถังที่สองสู่บรรยายกาศ ตามรูปภาพที่ 1 และ รูปภาพที่ 2



รูปภาพที่ 1 ระบบปฏิบัติการถังเก็บความดันอากาศ



รูปภาพที่ 2 การแหล่งของความดันในกระบวนการ



รูปภาพที่ 3 ความสัมพันธ์ของตัวแปรในระบบปฏิบัติการถังเก็บความดันอากาศแบบปฏิสัมพันธ์

3. การจำลองรูปแบบทางคณิตศาสตร์

3.1 การสร้างแบบจำลองทางคณิตศาสตร์

สำหรับกระบวนการนี้ใช้หลักการสมดุลมวลของแต่ละถังความดันโดยพิจารณาการไหลของความดันอากาศที่ผ่านวาล์วควบคุม, ถังเก็บความดัน และ วาล์วปฏิบัติการ มีความสัมพันธ์ดังนี้

สมการการไหลที่ผ่านวาล์วควบคุม (CV-01) กำหนดให้

$$f_1(t) = \frac{e^{\ln \alpha m_i(t)}}{\alpha} \frac{\sqrt{p_1(t)(p_1(t) - p_2(t))}}{\sqrt{T G g}} \quad (1)$$

สมการการไหลที่ผ่านวาล์วปฏิบัติการด้วยมือ (MV-01) กำหนดให้

$$f_2(t) = G p_2(t) \left(1 - \frac{2(p_2(t) - p_3(t))}{3p_2(t)} \right) \sqrt{\frac{p_2(t) - p_3(t)}{T G p_2(t)}} \quad (2)$$

สมการการไหลที่ผ่านวาล์วปฏิบัติการด้วยมือ (MV-02) กำหนดให้

$$f_3(t) = G p_3(t) \left(1 - \frac{2(p_3(t) - p_4(t))}{3p_3(t)} \right) \sqrt{\frac{p_3(t) - p_4(t)}{T G p_3(t)}} \quad (3)$$

อัตราโมลในถังเก็บความดันอากาศสามารถอธิบายได้จากสมการแก้ส์ในอุดมคติ ถังเก็บความดัน (T-01)

$$p_2(t)V_1 = n_1(t)RT \quad (4)$$

ถังเก็บความดัน (T-02)

$$p_3(t)V_2 = n_2(t)RT \quad (5)$$

ตารางที่ 1 ค่าตัวแปรของกระบวนการ

ตัวแปร	ค่า	หน่วย
α	50	---
M_i	70	%
T	520	°R
Gg	1	---
Cv (MV)	1.05	---
P1	50	psia
P2	26	psia
P3	17.64	psia
P4	14.7	psia
R	10.73	psia-ft ³ /lbmoles-°R
V1, V2	0.2473	ft ³
$\bar{\rho}$	0.00263	lbmoles/scf

จากสมการ (1), (2), (3), (4) และ (5) นำมาเขียนให้อยู่ในรูปสมดุลมวล โดยจะพิจารณาในแต่ละถังเก็บความดัน

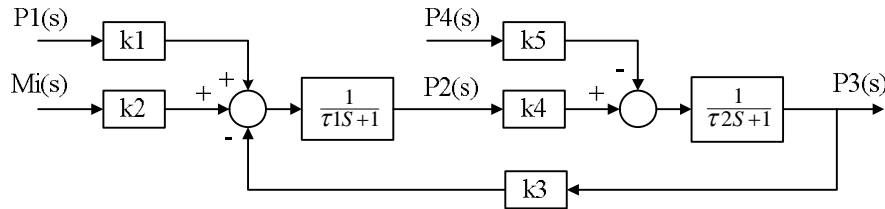
$$\text{Rate of moles into of tank} - \text{Rate of moles out of tank} = \text{Rate of accumulation of moles in tank} \quad (6)$$

จากหลักการทฤษฎีสมดุลในสมการ (6) จะได้ ถังที่หนึ่ง (T-01)

$$\bar{\rho}f_1(t) - \bar{\rho}f_2(t) = \frac{dn_1(t)}{dt} = \frac{V_1}{\rho RT} \frac{dp_2(t)}{dt} \quad (7)$$

ถังที่สอง (T-02)

$$\bar{\rho}f_2(t) - \bar{\rho}f_3(t) = \frac{dn_2(t)}{dt} = \frac{V_2}{\rho RT} \frac{dp_3(t)}{dt} \quad (8)$$



รูปภาพที่ 4 บล็อกไดอะแกรมระบบปฏิบัติการถังเก็บความดันอากาศแบบปฏิสัมพันธ์

เมื่อพิจารณาสมการที่ (1), (2) และ (3) แล้วพบว่า สมการดังกล่าวเป็นสมการไม่เป็นเชิงเส้น ดังนั้นจึงจำเป็นต้องทำให้เป็นเชิงเส้น (Linearization) เพื่อที่สามารถที่จะแก้สมการเหล่านี้ได้ด้วยการใช้การแปลงลาปลาช (Laplace Transform) ในขั้นตอนไป โดยใช้อนุกรม泰勒ลอร์ (Taylor Series) เข้ามาช่วยในการทำให้เป็นเชิงเส้น สมการไอลที่ 1 (f_1)

$$f_1(t) \approx \bar{f}_1 + \left. \frac{\partial f_1(t)}{\partial p_1(t)} \right|_{ss} [p_1(t) - \bar{p}_1] + \left. \frac{\partial f_1(t)}{\partial p_2(t)} \right|_{ss} [p_2(t) - \bar{p}_2] + \left. \frac{\partial f_1(t)}{\partial mi(t)} \right|_{ss} [mi(t) - \bar{mi}] \quad (9)$$

สมการไอลที่ 2 (f_2)

$$f_2(t) \approx \bar{f}_2 + \left. \frac{\partial f_2(t)}{\partial p_2(t)} \right|_{ss} [p_2(t) - \bar{p}_2] + \left. \frac{\partial f_2(t)}{\partial p_3(t)} \right|_{ss} [p_3(t) - \bar{p}_3] \quad (10)$$

สมการไอลที่ 3 (f_3)

$$f_3(t) \approx \bar{f}_3 + \left. \frac{\partial f_3(t)}{\partial p_3(t)} \right|_{ss} [p_3(t) - \bar{p}_3] + \left. \frac{\partial f_3(t)}{\partial p_4(t)} \right|_{ss} [p_4(t) - \bar{p}_4] \quad (11)$$

เมื่อทำให้เป็นเชิงเส้นในสมการที่ (9), (10), และ (11) เป็นที่เรียบร้อยแล้วแทนในสมการสมดุล (7) และ (8) สามารถแปลงลาปลาชและจัดให้อยู่ในรูป方程ชัน เอส ได้ดังนี้

$$K_1 P_1(s) + K_2 M_i(s) - K_3 P_3(s) = (\tau_1 s + 1) P_2(s) \quad (12)$$

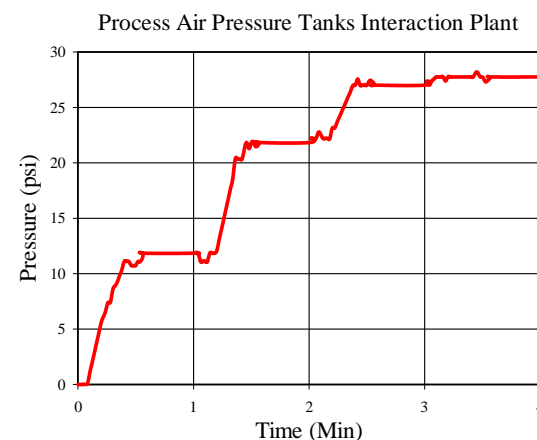
$$K_4 P_2(s) - K_5 P_4(s) = (\tau_2 s + 1) P_3(s) \quad (13)$$

นำสมการ (12) และ (13) เขียนบล็อกไดอะแกรมได้ตามรูปภาพที่ 4 เนื่องจากจะนำเสนอการควบคุมความดันในถังที่สอง (T-02) เราจะหาความสัมพันธ์ของเอาท์พุทและอินพุทของระบบ (Transfer Function) ได้ดังนี้

$$G(s) = \frac{P_3(s)}{M_i(s)} = \frac{9.458}{2.345s^2 + 28.455s + 0.367} \quad (14)$$

3.2 การตรวจสอบแบบจำลองคอมพิวเตอร์

การทดสอบผลตอบสนองของระบบปฏิบัติการถังเก็บความดันอากาศ โดยกำหนดให้ ความดันที่ไอลเข้าระบบ 50 psi เปิดวาล์วปฏิบัติการด้วยมือ (MV-01 และ MV-02) ทั้งสองตัวที่ 50% ตลอดการทดสอบ และควบคุมให้瓦ล์วควบคุม (CV-01) เปิดจาก 60% ไปถึง 80%



รูปภาพที่ 5 ผลตอบสนองของความดันอากาศถังที่สอง ของระบบปฏิบัติการ

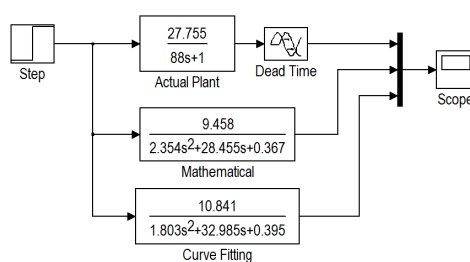
จากผลตอบสนองของระบบปฏิบัติการในรูปภาพที่ 5 ใช้การประมาณค่า Process Reaction โดยวิธีกราฟ พบว่ามีค่าดังต่อไปนี้ Process Gain (Kp) : 27.755

psi/%opening, Time Constant (τ) : 88 seconds และ Dead Time : 7 seconds จากวิธีการดังกล่าวสามารถจัดให้อยู่ในรูปแบบ First order ที่มี Dead Time ได้ในสมการที่ 15 เพื่อใช้เป็นตัวแทนของระบบปฏิบัติการในการนำมาร้องอิงในการตรวจสอบแบบจำลองคณิตศาสตร์และการปรับแต่งแบบจำลอง

$$\frac{Y(s)}{X(s)} = \frac{27.755e^{-7s}}{88s+1} \quad (15)$$

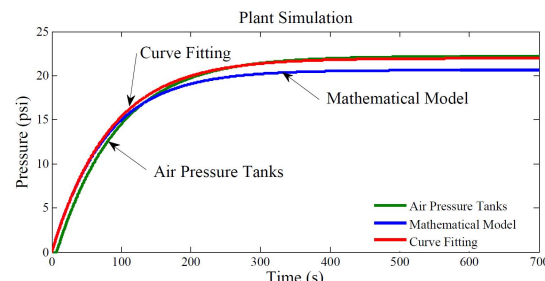
การตรวจสอบแบบจำลองคณิตศาสตร์ที่ได้ในสมการที่ (14) เปรียบเทียบกับฟังก์ชันถ่ายโอนที่ได้จากการประมาณค่า Process Reaction ของระบบปฏิบัติการในสมการที่ (15) โดยการจำลองสถานการณ์การทำงานในกรณีที่เป็นระบบเปิด โดยกำหนดให้อินพุตแบบขั้นบันได (Step input) เปรียบเสมือนตัวแปรตามการปิดปิดของวาล์วควบคุม (CV-01) มีค่าจาก 60% ถึง 80% ในรูปภาพที่ 7 แสดงให้เห็นผลตอบสนองของแบบจำลองคณิตศาสตร์ที่ได้จากการจำลองสถานการณ์มีความใกล้เคียงกับผลตอบสนองของฟังก์ชันถ่ายโอนระบบปฏิบัติการถังเก็บความดันอากาศและผลตั้งกล่าวที่แสดงให้เห็นว่าหลักการสมดุลมวลและความสัมพันธ์ของตัวแปรที่กำหนดสามารถสร้างแบบจำลองคณิตศาสตร์ได้และความคลาดเคลื่อนที่เกิดขึ้นสามารถอนุมานได้ว่าอาจเกิดจากตัวแปรที่ไม่สามารถควบคุมได้ เช่น ความดันอากาศที่นำมายังให้ระบบมีความไม่เสถียร ความแม่นยำของตัวอุปกรณ์เครื่องมือวัดของระบบ อื่นๆ

เพื่อที่สามารถออกแบบตัวควบคุมให้มีประสิทธิภาพต่อระบบปฏิบัติการ นำแบบจำลองคณิตศาสตร์มาปรับค่าพารามิเตอร์เพื่อให้ได้แบบจำลองที่มีความใกล้เคียงกับผลตอบสนองของระบบปฏิบัติการให้มากที่สุด ผลจากปรับค่าพารามิเตอร์ได้แบบจำลองในสมการที่ (16)



รูปภาพที่ 6 การจำลองสถานการณ์การทำงานแบบจำลองคณิตศาสตร์

$$G(s) = \frac{10.841}{1.803s^2 + 32.985s + 0.395} \quad (16)$$



รูปภาพที่ 7 การเปรียบเทียบผลตอบสนองของแบบจำลองกับระบบปฏิบัติการ

4 การสังเคราะห์ตัวควบคุมและการควบคุม

4.1 การสังเคราะห์ตัวควบคุมจากแบบคณิตศาสตร์

การสังเคราะห์ตัวควบคุมของกระบวนการอันดับสอง จากทฤษฎีการสังเคราะห์ตัวควบคุมไม่สามารถสร้างตัวควบคุมที่มีอาثارพุ่งเท้ากับค่าเป้าหมายได้ทุกช่วงเวลา ตัวควบคุมจะใช้เวลาช่วงหนึ่งเพื่อเข้าสู่ค่าเป้าหมาย หรือที่เรียกว่า ค่าคงที่เวลา τ_c ที่นำเสนอโดย Dahlin (1968) จากกระบวนการอันดับสอง

$$G(s) = \frac{K}{(\tau_1 s + 1)(\tau_2 s + 2)} \quad (17)$$

$$G_c(s) = \frac{K}{(\tau_1 s + 1)(\tau_2 s + 2)} \cdot \frac{1}{\tau_c s} \quad (18)$$

ได้ตัวควบคุม PID จากการสังเคราะห์กระบวนการอันดับสอง

$$G_c(s) = \frac{\tau_1}{K \tau_c} \left(1 + \frac{1}{\tau_1 s} \right) (\tau_2 s + 1) \quad (19)$$

โดยปกติ ตัวควบคุมแบบ PID ที่เป็นรูปแบบพื้นฐาน โดยทั่วไปสมการที่ (19) ไม่สามารถใช้งานได้ดีในทุกๆ กระบวนการ เพื่อให้ตัวควบคุมมีประสิทธิภาพยิ่งขึ้นของได้มีการปรับปรุงให้มีความตันพันธ์ โดยให้ค่าเกณฑ์ร่วมกับสมการค่าคงที่เวลา จะได้ $\alpha \tau_D s + 1$ ซึ่งเรียกว่า ตัวกรอง โดย α จะมีค่าในช่วง 0.05 ถึง 0.2 ซึ่งจะได้ตัวควบคุม PID ตามสมการที่ (20)

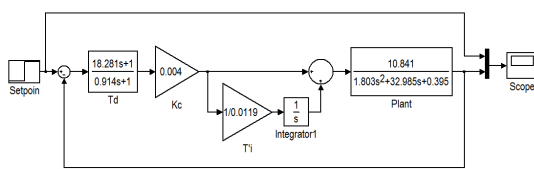
$$G_c(s) = K'_c \left(1 + \frac{1}{\tau'_1 S} \right) \left(\frac{\tau'_D S + 1}{\alpha \tau'_D S + 1} \right) \quad (20)$$

ค่าสัมประสิทธิ์ในการปรับแต่งสำหรับตัวควบคุม PID สำหรับแบบจำลองคณิตศาสตร์ในสมการที่ (16) สามารถคำนวณค่าสัมประสิทธิ์ได้ในตารางที่ 2 ดังนี้

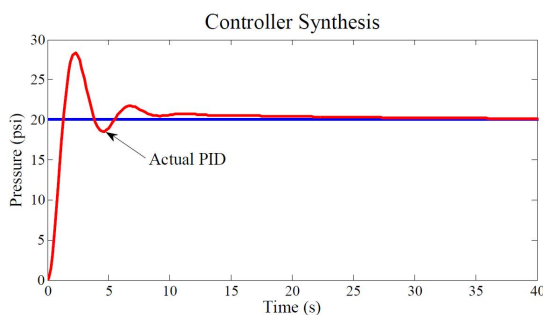
ตารางที่ 2 ค่าสัมประสิทธิ์ตัวควบคุม PID สังเคราะห์กระบวนการอันดับสอง

ตัวควบคุม	ค่าสัมประสิทธิ์ในการปรับแต่ง	
P	$K'_c = \frac{\tau_1}{K \tau_C}$	0.004
I	$\tau'_1 = \tau_1$	0.0119
D	$\tau'_D = \tau_2$	18.282

เมื่อ $\alpha = 0.05$ และ $\tau_C = 0.49$ (มาจาก การปรับแต่ง)



รูปภาพที่ 8 ระบบควบคุมของแบบจำลองเมื่อมี PID จากการสังเคราะห์ (Actual Controller)



รูปภาพที่ 9 ผลตอบสนองของระบบควบคุมของแบบจำลองเมื่อมี PID จากการสังเคราะห์

จากผลตอบสนองของระบบควบคุมตามรูปภาพที่ 9 แสดงให้เห็นว่าตัวควบคุม PID ที่มาจากการสังเคราะห์จากแบบจำลองคณิตศาสตร์สามารถควบคุมให้เข้าสู่เป้าหมาย

ได้ตามความต้องการสำเร็จ โดยมี เปอร์เซ็นต์การพุ่งเกินเท่ากับ (%OS)=40% และให้เวลาในการตอบสนองในการเข้าสู่ค่าเป้าหมายที่ 32.5 วินาที

4.2 การสังเคราะห์ตัวควบคุมกระบวนการอันดับหนึ่ง ที่มี Dead Time

ในส่วนนี้จะนำเสนอการการสังเคราะห์ตัวควบคุมในกระบวนการอันดับหนึ่งที่มี Dead Time เพื่อนำค่าสัมประสิทธิ์ที่ได้จากการสังเคราะห์มาทดสอบในโปรแกรมจำลองสถานการณ์การทำงานและปรับแต่งให้มีความเหมาะสมไปตามคุณสมบัติการต่อไปกระบวนการอันดับหนึ่งที่มี Dead Time

$$G(s) = \frac{Ke^{-t_0 s}}{\tau_1 s + 1} \quad (21)$$

$$G_C(s) = \frac{\tau s + 1}{Ke^{-t_0 s}} \cdot \frac{1}{\tau_C s} \quad (22)$$

ได้ตัวควบคุม PID จากการสังเคราะห์กระบวนการอันดับหนึ่งที่มี Dead Time

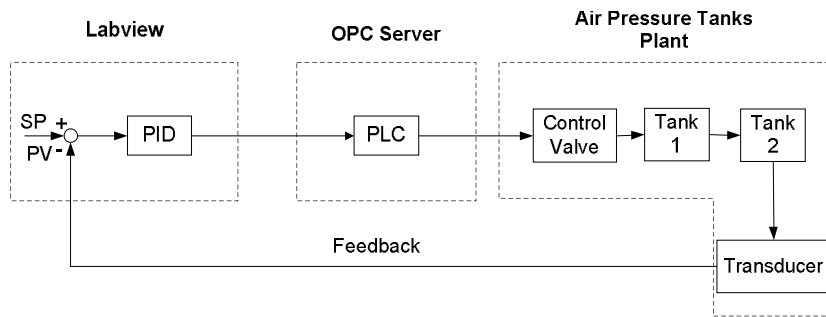
$$G_C(s) = \frac{\tau}{K(\tau_C + t_0)} \left(1 + \frac{1}{\tau s} \right) e^{-t_0 s} \quad (23)$$

จากการศึกษาทฤษฎีต่างๆ ในระบบควบคุมมักจะประสบปัญหาในการควบคุมเมื่อกระบวนการเหล่านั้นมี Dead Time เกิดขึ้นกับระบบ เราจะใช้การประมาณ First-Order Padé นำมาแก้ปัญหาดังกล่าว

$$e^{-t_0 s} = \frac{\left(1 - \frac{t_0}{2} s \right)}{\left(1 + \frac{t_0}{2} s \right)} \quad (24)$$

จะได้การประมาณ First-Order Padé ร่วมกับตัวควบคุมการสังเคราะห์

$$G_C(s) = \frac{\tau}{K(\tau_C + t_0)} \left(1 + \frac{1}{\tau s} \right) \left(\frac{1 - \frac{t_0}{2} s}{1 + \frac{t_0}{2} s} \right) \quad (25)$$



รูปภาพที่ 10 ระบบควบคุมของระบบปฏิบัติการ

เมื่อ

เมื่อ $\alpha = 0.2$ และ $\tau_c = 0.5$

$$\tau' = \frac{\tau_c t_0}{2(\tau_c + t_0)} \quad (26)$$

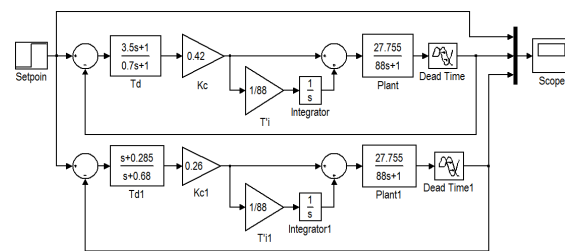
ค่าสัมประสิทธิ์ในการปรับแต่งสำหรับตัวควบคุม PID สำหรับกระบวนการอันดับหนึ่งร่วมที่มี Dead Time ในตารางที่ 3 และ เพื่อการตรวจสอบความสามารถของ ตัวควบคุมในแต่ละวิธีการ เราจะใช้วิธีการสังเคราะห์ใน แบบหนึ่ง คำนวณค่าสัมประสิทธิ์ได้ในตารางที่ 4

ตารางที่ 3 ค่าสัมประสิทธิ์ตัวควบคุม PID แบบ Synthesized Controller อ้างอิงสมการที่ (25)

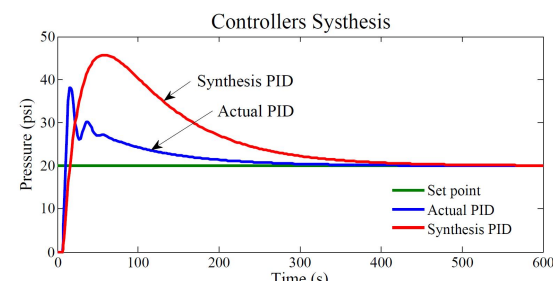
ค่าตัวแปร	ค่าสัมประสิทธิ์ในการปรับแต่ง
K	27.755
τ	88
t_0	3.5
τ_c	5

ตารางที่ 4 ค่าสัมประสิทธิ์ตัวควบคุม PID แบบ Actual Controller อ้างอิงสมการที่ (20)

ตัวควบคุม	ค่าสัมประสิทธิ์ในการปรับแต่ง
P	$K'_c = \frac{\tau}{K(\tau_c + t_0)}$
I	$\tau'_I = \tau$
D	$\tau'_D = \frac{\tau_0}{2}$



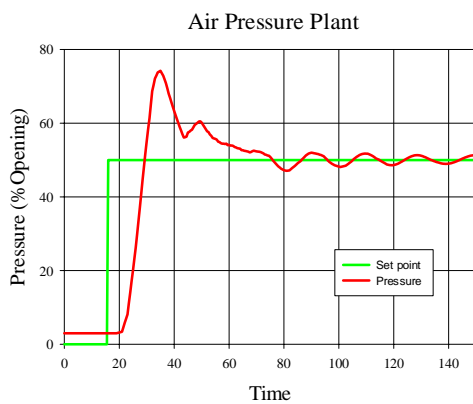
รูปภาพที่ 11 ระบบควบคุมของกระบวนการอันดับหนึ่งร่วมกับความล่าช้าเวลา เมื่อมี PID จากการสังเคราะห์ทั้งสองแบบ



รูปภาพที่ 12 ผลตอบสนองของระบบควบคุมกระบวนการอันดับหนึ่งที่มี Dead Time

จากผลตอบสนองของระบบควบคุมในรูปภาพที่ 12 แสดงให้เห็นว่าตัวควบคุม PID ทั้งสองแบบที่มาจากการสังเคราะห์จากการอันดับหนึ่งร่วมกับ Dead time สามารถควบคุมให้เข้าสู่เป้าหมายได้ตามต้องการได้ สำเร็จ โดยแบบ Actual Controller มีเปอร์เซ็นต์การพุ่งเกินเท่ากับ (%OS)=90% และให้เวลาในการตอบสนอง

ในการเข้าสู่ค่าเป้าหมายที่ 320 วินาที และแบบ Synthesized Controller มีเบอร์เซ็นต์การผุ่งเกินเท่ากัน (%OS)=130% และให้เวลาในการตอบสนองในการเข้าสู่ค่าเป้าหมายที่ 480 วินาที สรุปได้ว่าตัวควบคุมแบบ Actual Controller แบบประสิทธิภาพมากกว่าแบบ Synthesized Controller ดังนั้นเราจะนำค่าสัมประสิทธิ์ที่ได้จากแบบ แบบ Actual Controller มาควบคุมกับระบบปฏิบัติการตามรูปภาพที่ 10



รูปภาพที่ 13 ผลตอบสนองของระบบควบคุม ระบบปฏิบัติการ

จากผลตอบสนองของระบบควบคุมแสดงในรูปภาพที่ 13 ให้เห็นว่าตัวควบคุม PID แบบ Actual Controller สามารถนำควบคุมระบบปฏิบัติการสามารถควบคุมให้เข้าสู่เป้าหมายได้ตามต้องการได้ การสังเคราะห์ที่ดังกล่าวแสดงให้ถึงความสามารถในการปรับแต่งค่าพารามิเตอร์และการนำมาใช้งานจริง

5. สรุป

ในการดำเนินการสำหรับการสร้างแบบจำลองคณิตศาสตร์และการประยุกต์ใช้ตัวควบคุมแบบ PID ได้แสดงให้เห็นว่าแบบจำลองนี้เหมาะสมสมแก่การนำมาทดสอบเพื่อสังเกตผลตอบสนอง และนำผลมาวิเคราะห์ในสถานการณ์ที่อาจเกิดขึ้นกับระบบปฏิบัติการจริง เพื่อศึกษาและให้เกิดความเข้าใจในกลไกภายในและสามารถอธิบายพฤติของระบบ การสังเคราะห์ตัวควบคุม แบบ PID ที่ได้จากแบบจำลองคณิตศาสตร์เห็นได้ว่าสามารถนำมาเป็นหลักการพื้นฐานในการสร้างตัวควบคุมและง่ายต่อการปรับแต่งค่าพารามิเตอร์ที่เหมาะสมและนำไปใช้งานกับระบบปฏิบัติการได้อย่างมีประสิทธิภาพ

กิตติกรรมประกาศ

ขอขอบคุณภาควิชาการวัดและควบคุม คณะวิศวกรรมศาสตร์ สถาบันเทคโนโลยีพระจอมเกล้าเจ้าคุณทหารลาดกระบัง ที่เอื้อเฟื้อสถานที่และสนับสนุนทุนในการวิจัย

เอกสารอ้างอิง

- [1] Anish Mathew K. (2012). Internal Model Control of Pressure Process Using ARM Microcontroller, International Conference on Computing Electronics and Electrical Technologies, March 2012, pp. 351-353.
- [2] Nordin Saad and Mohd Syahrul Ridhwan Zailani. (2007). Industrial PC Control Implementation on PID controllers : Application to Pressure Control System, International Conference on Intelligent and Advanced Systems, Nov. 2007, pp. 1007-1012.
- [3] C. E. Long, J. D. Miles, C. E. Holland and E. P. Gatzke. (2003). A Flexible Multivariable Experimental Air Tank System For Process Control Education, American Control conference, vol. 1, June 2003, pp. 688-693.
- [4] Flowserve corporation. (2002). Sizing and Selection. Flowserve corporation, Flow control division SS004. Rev9/2002
- [5] Swagelok Company. (2007). Valve Sizing Technical Bulletin, Swagelok-TM R4 MS-06-84-E
- [6] Carlos A. Smith and Armando B. Corripio. (1997). Principles and Practice of Automatic Process Control. John Wiley and Sons, Inc. United States of America,
- [7] MathWorks. (2015). Matlab&Simulink, URL: http://www.mathworks.com/help/pdf_doc/simulink/sl_gs.pdf, access on 10/05/2015.
- [8] A.B. Campo. (2012), PID Control Design, DOI: 10.5772/48497, MATLAB - A Fundamental Tool for Scientific Computing and Engineering Applications - Volume 1, URL: <http://dx.doi.org/10.5772/48497>, access on 25/07/2